

UNIDAD DE HERRERIAS



9196 Conglomerados devónico-carboníferos.



9197 Calizas devónico-carboníferas.

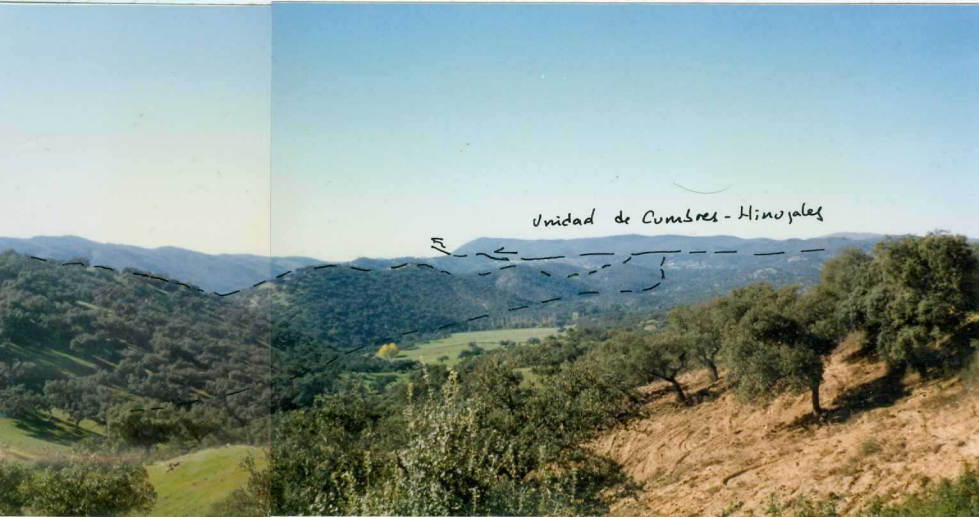


9198 Detalle de las mismas calizas de la fotografía anterior.



9199 Panorámica del flanco septentrional del Sinclinal de Herrerías. Contacto entre las calizas y las pizarras moradas.

UNIDAD DE CUMBRES-HINOJALES



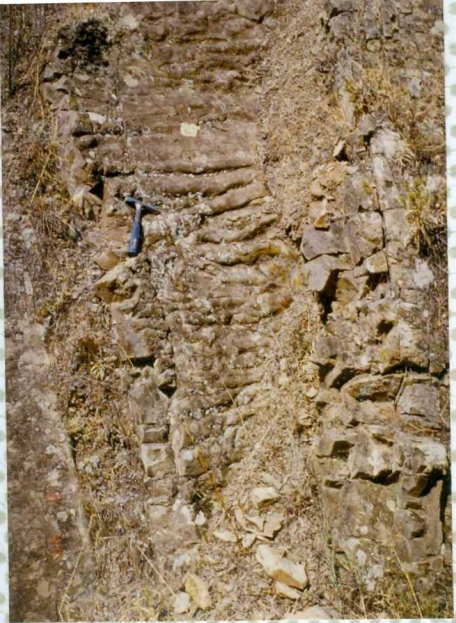
9201 Panorámica del manto de la Unidad de Cumbres-Hinojales sobre la Unidad de Herrerías.



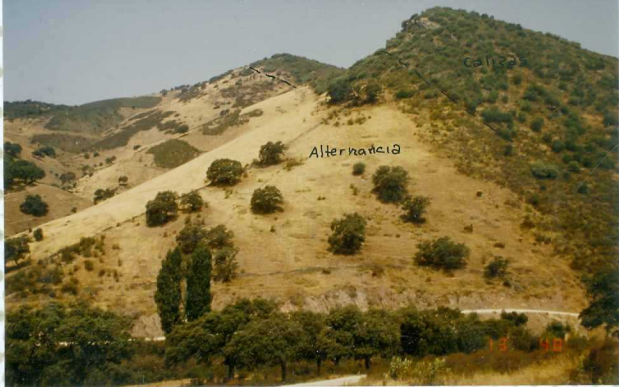
9200 Panorámica de Mina de Cala



9202 Calizas cámbricas, en el Klippe de Sierra Jabata.



9203 Alternancia de Cumbres, uno de los niveles de areniscas presenta estructuras sedimentarias al muro (flute-cant) e indican que la serie está invertida.



9204 Vista panorámica del contacto entre las calizas y la alternancia de Cumbres en el Klippe de Sierra Jábata.



9205 Afloramiento típico de las pizarras de Barrancos.



9206 Rocas básicas intercaladas en las pizarras de Barrancos
(Metabasitas de la Ribera de Huelva).



9207 Afloramiento en las Grauvacas de Sierra Colorado.



9208 Idem a la fotografía anterior.



9209 Detalle de la fotografía anterior



9210 Afloramiento de ampelitas silúricas.



9211 Afloramiento alterado de las empelitas silúricas.



9212 Afloramiento de esquistos rayes, se observan pliegues
kimk tardíos de plano axial subhorizontal.



9213 Detalle de la fotografía anterior.



9214 Pizarras y grauvacas del Flysch Terena. Se observan estructuras del tipo granoselección, y refracción de la esquistosidad.



9190 Calizas cámbicas.



9215 Grauvacas masivas en la base del Flysch Terena



9216 Microconglomerados devónico-carboníferos.



9217 Calizas a techo de una sucesión de pizarras y grauvacas correlacionable con el flysch Terena



9218 Panorámica del contacto entre las pizarras y las rocas básicas de Barrancos.

ESQUISTOS DE EL CUBITO



9219 Afloramiento de los esquistos de El Cubito.



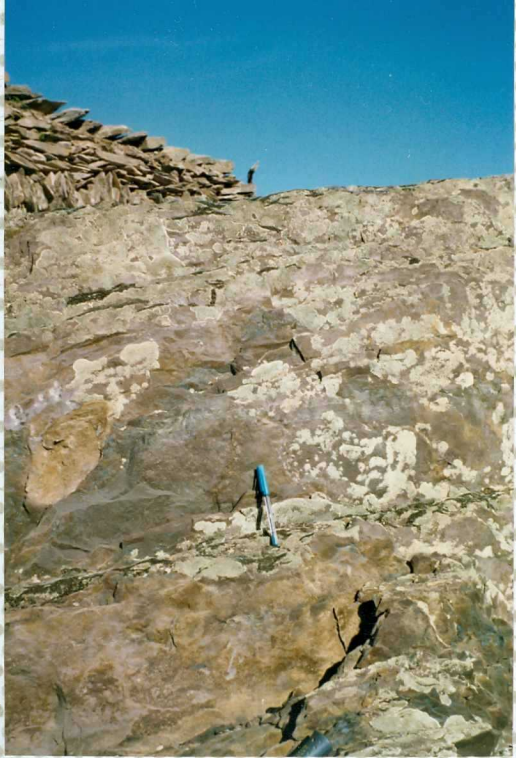
9220 Foto de detalle del afloramiento anterior.

9221 Rocas básicas intercaladas en las pizarras de El Cubito (Metabasitas de la Ribera de Huelva) con pequeño repliegue de flanco invertido.



UNIDAD DEL MACIZO DE ARACENA

CUÑA DE FUENTEHERIDOS -LA UMBRIA



9191 Aspecto de las pizarras moradas del Sinclinal de Herrerías.



9222 Fotografía panorámica en la formación de la Umbría, los relieves que se observan coinciden con afloramientos de cuarcitas negras.



9223 Fotografía de los esquistos de La Umbría.



9224 Afloramiento de cuarcitas negras en la formación de La Umbría.



9225 Idem a fotografía anterior.



9226 Volcanita ácida en serie volcanosedimentaria.



9227 Fotografía de detalle del afloramiento anterior.
Se observan las texturas porfídicas.



9228 Aspecto de las dolomías de Aracena, en cantera próximaa Puerto Moral.



9229 Detalle de la fotografía anterior.



9230 Calizas laminadas grises intercaladas a en la serie volcano-sedimentaria



9231 Detalle de la fotografía anterior.



9192 Limos y arenas moscovíticas biotumbadas del Sinclinal de Herrerías.



9232 Andesitas de la serie volcano-sedimentaria



9233 Cineritas y tobas finas de la serie volcano sedimentaria.

CUÑA DE CORTEGANAS - AGUAFRÍA



9234 Neis de Fuente del Oro.



9235 Ortoneis anatectico de afinidad charnockitica.



9236 Detalle de la fotografía anterior.



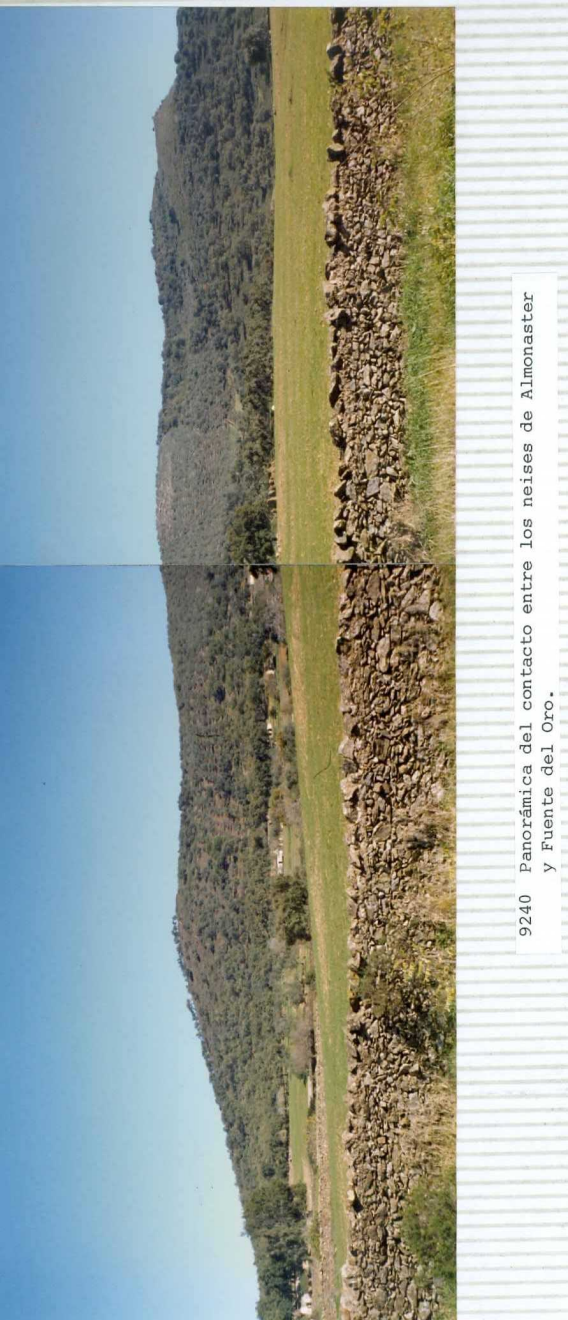
9237 Neis calcomagnesiano de Almonaster.



9238 Marmol blanco entre los neises de Almonaster.



9239 Marmol impuro con una banda central de roca calcosilicatada en neises de Almonaster.



9240 Panorámica del contacto entre los neises de Almonaster y Fuente del Oro.

UNIDAD DEL PULÓ DEL LOBO



9188 Espilitas con estructuras almohadilladas.



9241 Aspecto de las Anfibolitas de Acebuches de grano grueso.



9242 Aspecto de las Anfibolitas de Acebúches de grano fino.



9243 Esquistos y cuarcitas, al menos con dos fases de deformación visibles en la fotografía.



9244 Alternancia de pizarras y grauvacas.



9245 Pequeño pliegue antiformal en las pizarras y grauvacas.

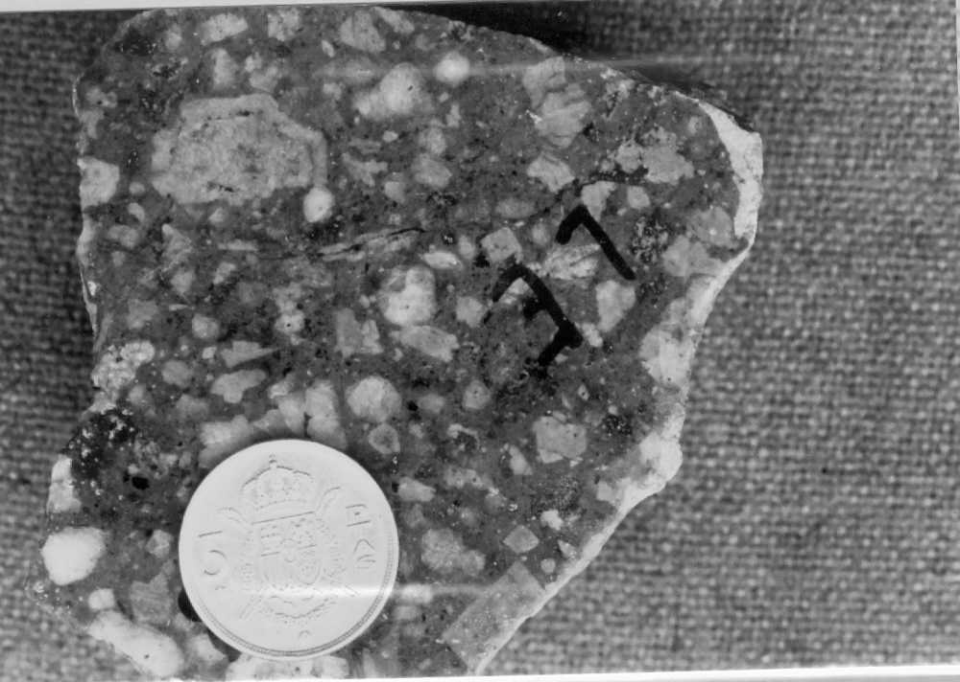
ROCAS IGNEAS



9550 Aspecto del Pafido de Cala.



9551 Idem o fotografía anterior.



9552 Foto de detalle del Porfido de Cala.



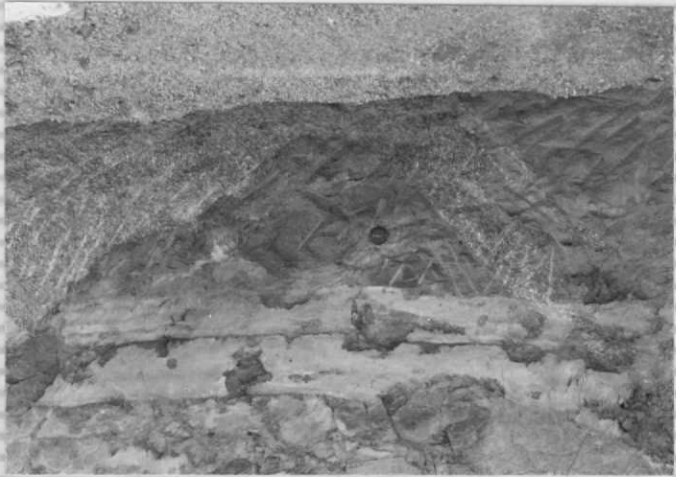
9189 Limos del Cámbrico Medio en Sinclinal de Herrerías



9553 Foliación en la tonalita de Santa Olalla



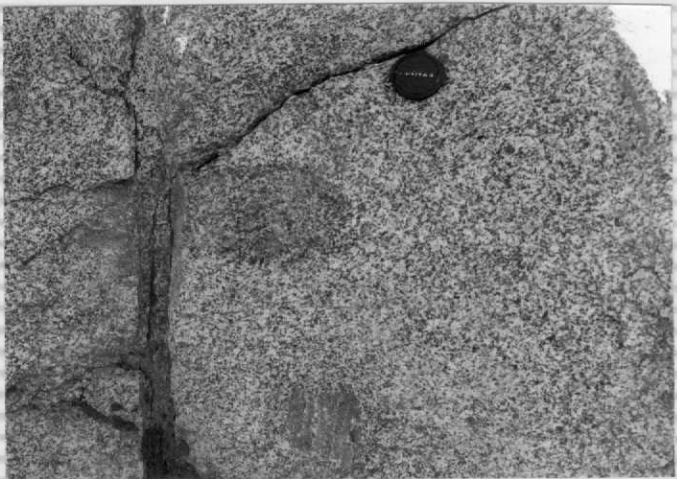
9554 Foliación en la tonalita de Santa Olalla.



9555 Contacto intrusivo del granito de Santa Olalla en sucesión volcanosedimentaria.

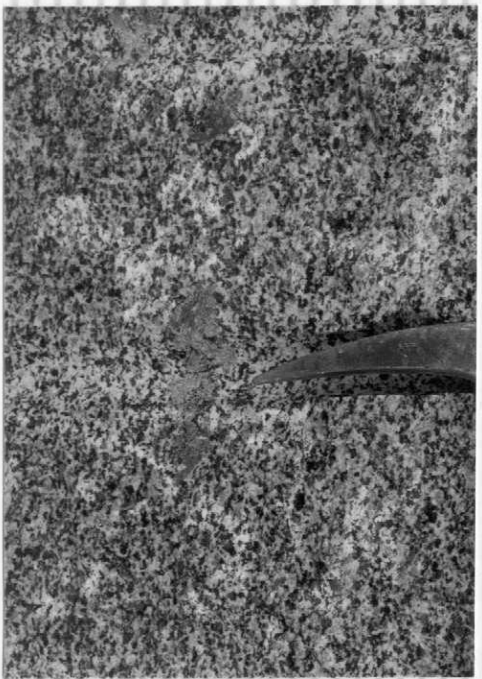


9556 Aspecto de rool pendant en la tonalita de Santa Olalla.



9557 Enclave básicos en la tonalita de Santa Olalla.

9558 Foliación magnética en la tonalita de Santa Olalla.





9559 Enclave microgranudo en la tonalita de Santa Olalla.



9246 Afloramiento de la granodiorita de Santa Olalla en paisaje típico extremeño.



9247 Aspecto de detalle de la foto anterior.



9248 Dique de riolita.



9193 Conglomerados del Ordovícico inferior en el Sinclinal de Herrerías.



9249 Detalle de la fotografía anterior.



9250 Granodiorita del complejo de Castiblanco



9251 Detalle de la fotografía anterior



9252 Pequeño stock diabásico.



9253 Detalle de la fotografía anterior.



9194 Cuarcitas blancas y ferruginosas del Sinclinal de Herrerías.



9195 Grauvacas devónico-carboníferas. Se observa la relación
So-S₁ y la lineación de intersección.